

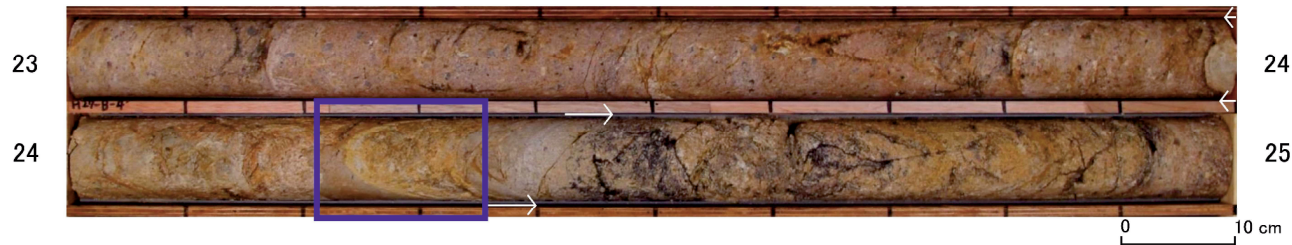
H27-B-4'深度23.97~24.42m 最新活動面の深度 (No.最-31) を変更

- 変更後の最新活動面認定方法によると、H27-B-4'深度23.97~24.42mの破碎部における最新活動面は24.25mの断層面であるため変更した。

H27-B-4' 深度23.97~24.42m ボーリングコア観察 断層面の認定

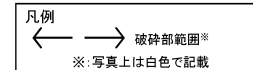
- ボーリングコア観察において、深度24.24mに断層面 α が、深度24.25mに断層面 β が認められる。
- 断層面 α は湾曲及び凹凸が少なく、直線性に富む。また、不連続部は認められず、連続性に富む。
- 断層面 β は湾曲及び凹凸が少なく、直線性に富む。また、不連続部は認められず、連続性に富む。

コア写真

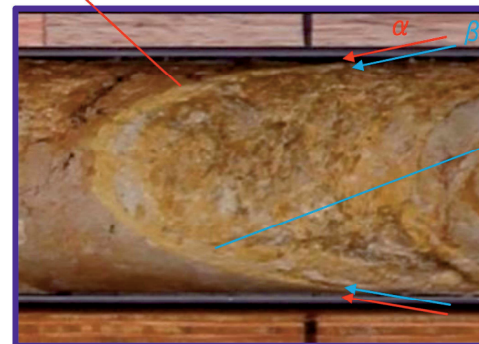


破碎部性状の記事

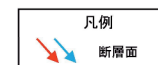
●23.97~24.42m: 破碎部
 23.97~24.20m: 粘土混じり岩片部 (Hj)
 上端60° で波打ち、下端70° で大きく波打って連続。径5~20mmの硬さ「D」「E」の岩片と岩片間の粘土、一部砂からなる。にぶい黄橙~灰黄褐色を呈する。
 24.20~24.24m: 礫混じり粘土状部 (Hc-2)
 上端70° で大きく波打ち、下端75° で直線的に連続。径2~5mmの石英粒と岩片を10~20%程度含む。硬質。灰黄色を呈する。幅12~25mmで膨縮する。
 24.24~24.25m: 粘土状部 (Hc-1)
 傾斜75° で直線的に連続する。やや硬質。明黄褐色を呈する。幅2mm。
 24.25~24.33m: 粘土混じり岩片状部 (Hj)
 上端75°、下端70° でともに直線的に連続。径10mm前後の粘土化が著しい岩片と岩片間の粘土細脈からなる。23.97~24.20mのHjより粘土量が多い。明褐色を呈する。
 24.33~24.42m: 粘土質礫状部 (Hb)
 上端70°、下端40° でともに直線的に連続。径2~30mmの粘土化した岩片を30%程度含む。にぶい黄褐色を呈する。



湾曲及び凹凸が少なく不連続部が認められない



湾曲及び凹凸が少なく不連続部が認められない



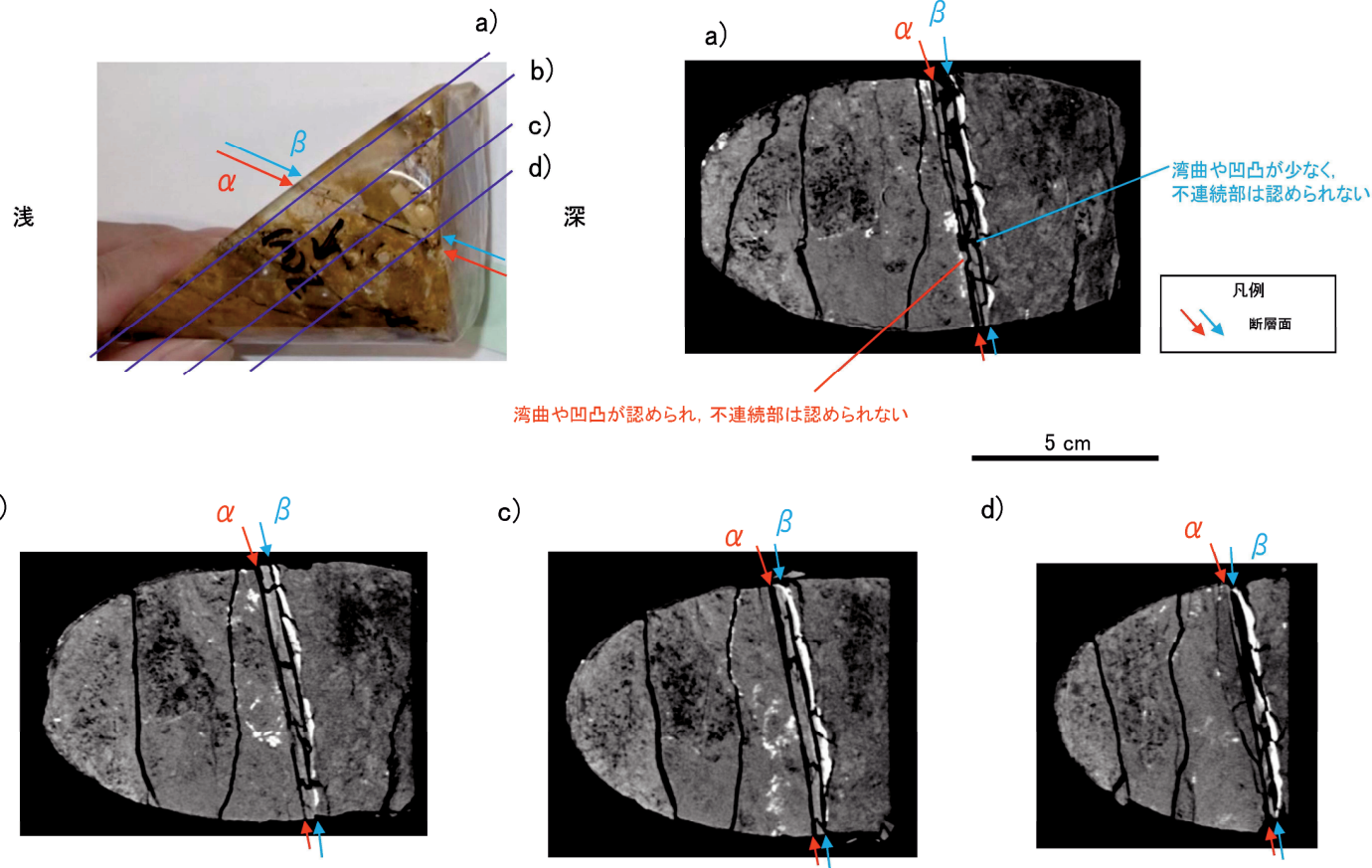
青枠部拡大

H27-B-4'深度23.97~24.42m 最新活動面の深度 (No.最-31) を変更

H27-B-4' 深度23.97~24.42m CT画像観察 断層面の認定

- CT画像観察において、ボーリングコア観察で認められた断層面 α 及び断層面 β が認められる。
- 断層面 α は三次元的に他の構造に切られておらず、湾曲や凹凸が認められ相対的に直線性に乏しい。不連続部は認められず連続性に富む。
- 断層面 β は三次元的に他の構造に切られておらず、湾曲や凹凸が少なく相対的に直線性に富む。また、不連続部が認められず連続性に富む。

研磨片CT画像

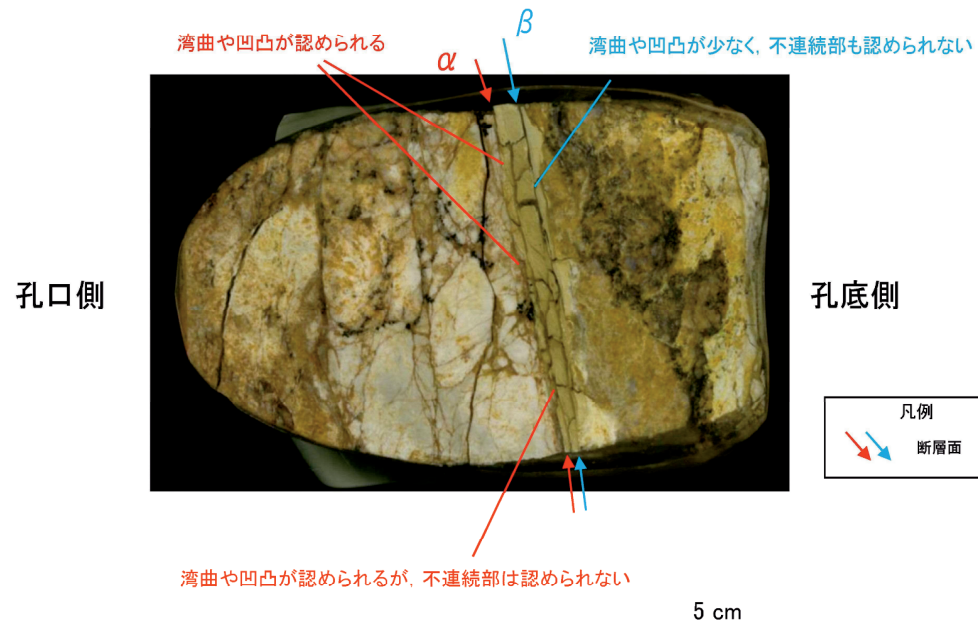


H27-B-4'深度23.97~24.42m 最新活動面の深度 (No.最-31) を変更

H27-B-4' 深度23.97~24.42m 研磨片観察 断層面の認定

- ・研磨片観察において、CT画像観察の結果と同様に断層面 α 、断層面 β が認められる。
- ・断層面 α は、他の構造に切られておらず、細粒部を伴い、湾曲や凹凸が認められ直線性に乏しい。不連続部は認められず連続性に富む。
- ・断層面 β は、他の構造に切られておらず、細粒部を伴い、湾曲や凹凸が少なく直線性に富む。また、不連続部は認められず連続性に富む。
- ・ボーリングコア観察、CT画像観察、研磨片観察より、細粒部を伴い、最も直線的な深度24.25mの断層面 β を検討対象の断層面とした。

研磨片写真

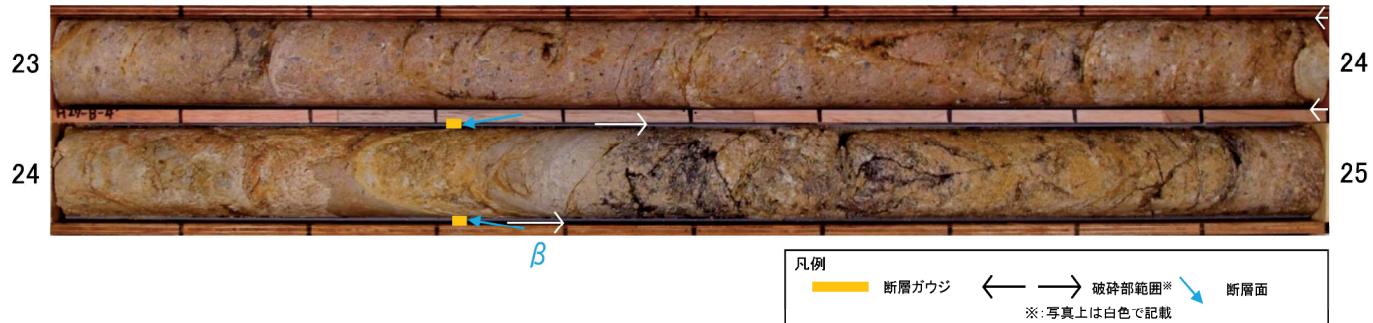


H27-B-4'深度23.97~24.42m 最新活動面の深度 (No.最-31) を変更

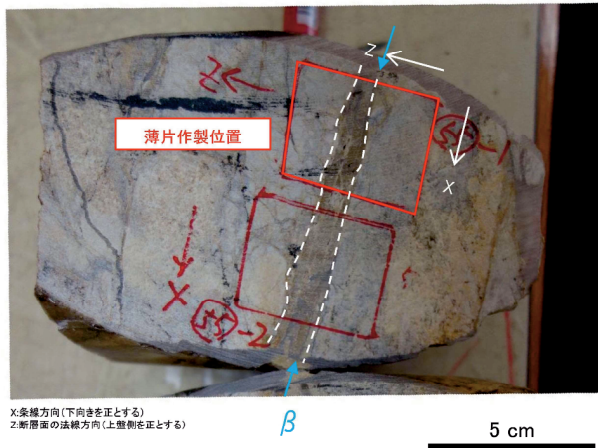
H27-B-4' 深度23.97~24.42m 薄片作製位置

・薄片は断層面 β 及び細粒化が進んだ範囲を含むように作製した。

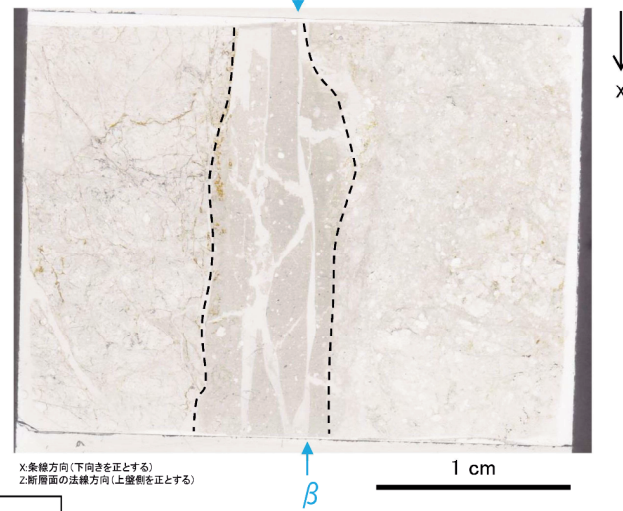
コア写真



薄片作製位置写真



薄片全景写真(単ニコル)

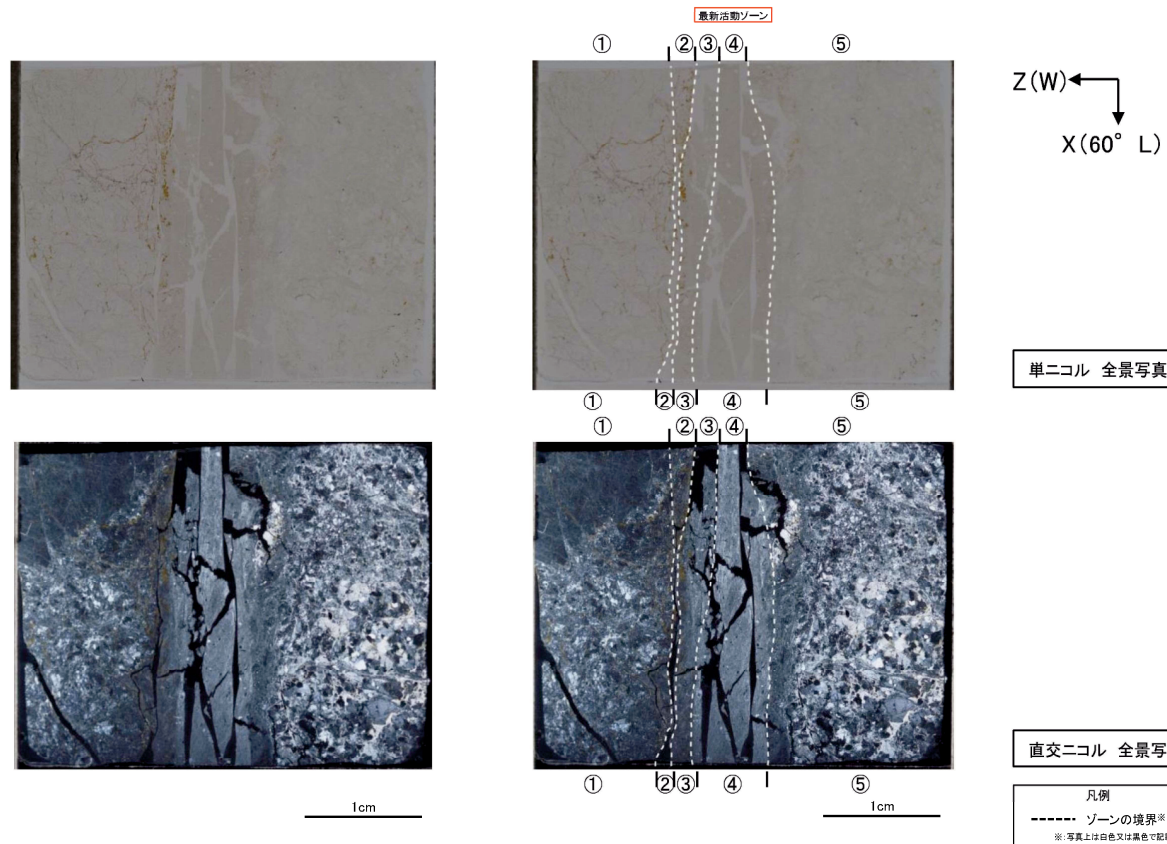


凡例
 断層面 ----- 肉眼観察で相対的に細粒化が進んだ範囲※
 ※:写真上は白色又は黒色で記載

H27-B-4'深度23.97~24.42m 最新活動面の深度 (No.最-31) を変更

H27-B-4' 深度23.97~24.42m 薄片観察 分帯

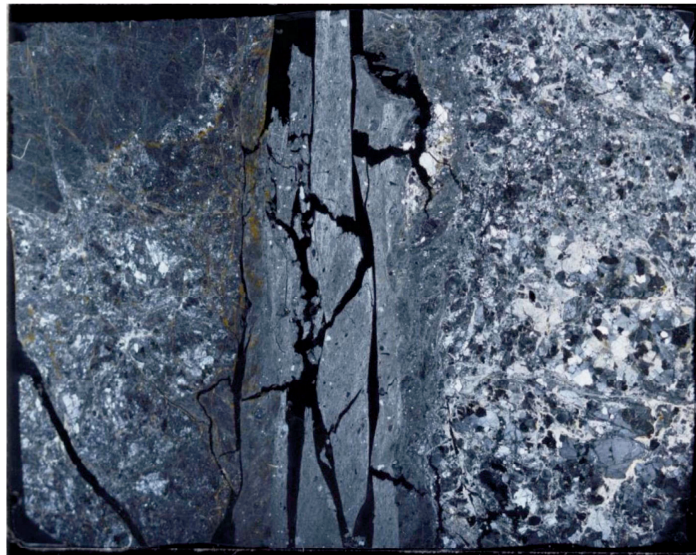
- ・①のゾーンは、粘土鉱物の量は少なく、粘土鉱物の定向配列は認められない。岩片は多く、丸みを帯びている岩片が多い。
 - ・②のゾーンは、粘土鉱物の量は少なく、粘土鉱物の定向配列は認められない。岩片は少なく、丸みを帯びている岩片が多い。
 - ・③のゾーンは、粘土鉱物の量は多いが、粘土鉱物の定向配列は認められない。岩片は少なく、丸みを帯びている岩片が多い。
 - ・④のゾーンは、粘土鉱物の量は多く、粘土鉱物の定向配列が認められる。岩片は少なく、丸みを帯びている岩片が多い。
 - ・⑤のゾーンは、粘土鉱物の量は少なく、粘土鉱物の定向配列は認められない。岩片は多く、角ばっている岩片が多い。
- 以上のことから、細粒化が最も進んだ④のゾーンを最新活動ゾーンと認定した。



H27-B-4'深度23.97~24.42m 最新活動面の深度 (No.最-31) を変更

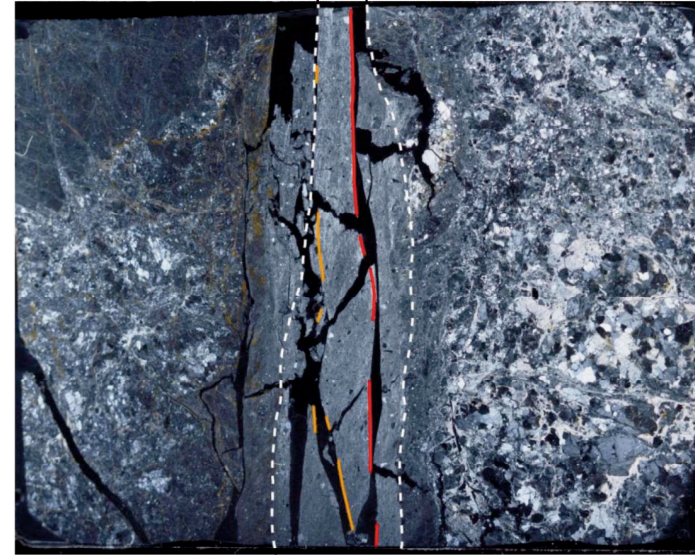
H27-B-4' 深度23.97~24.42m 薄片観察 最新活動面の認定

- ・深度24.25mにおける断層面β沿いの最新活動ゾーンでは、他の構造に切られていないY面A、Y面Bが認められる。その分布を以下に示す。
- ・Y面Aは一部でやや湾曲するが直線性に富み、連続性に富む。明瞭である。
- ・Y面Bは直線性に富み、連続性はY面Aに比べ乏しい。細粒部を伴う。
- ・以上のことから、Y面Aを最新活動面と認定した。



直交ニコル 全景写真

1cm



直交ニコル 全景写真

1cm

Z(W)
X(60° L)

- 凡例
- Y面A
 - Y面B
 - - - 最新活動ゾーン※
- ※ 写真上は白色又は黒色で記載

※Y面は確実に認定できる部分のみを記載しており、割れ目や不明瞭箇所では記載していない

1. 変更内容、理由及び断層連続性評価への影響

・最新活動面の深度を108.71mに変更 (No.最-32)

【理由】変更後の最新活動面認定方法に基づき実施した結果に変更

・走向・傾斜をN39E80SEに変更 (No.最-33)

【理由】最新活動面の変更に伴い，走向・傾斜を再取得した結果に変更

・条線を22Lに変更 (No.最-34)

【理由】走向・傾斜の変更に伴い，条線を変更

【断層連続性評価への影響】なし

2. 変更箇所

a 性状一覧表のコア写真上で最新活動面を示す矢印の位置を変更 (No.最-32)

b 走向・傾斜をN39E80SEに変更 (No.最-33)

c 最新活動面の深度を「108.71m」に変更 (No.最-32) (ただし、フォーム見直しにより数値の記載なし)

d ブロックサンプル上で最新活動面を示す矢印の位置を変更 (No.最-32)

